

تقييم أنماط توزيع الماء لمِرشات (Floppy)

قيس سامي سعيد حمدان¹

- ١ وزارة الزراعة - شركة ما بين النهرين العامة للبنور
- تاريخ استلام البحث 1/2/2018 وقبوله 2018/11/15

الخلاصة

تم إجراء البحث في قرية حضرة الفاضل أحد قرى جنوب الموصل في ناحية القبارية بثلاث مُعاملات تشمل الترتيب المستطيل ($9m \times 12m$) والمثلث متساوي الساقين ($12m \times 12m$) و ($11m \times 13m$). تم حساب مُعامل التنساق إذ بلغ (%) 85,25 للترتيب المستطيل ($9m \times 12m$) وبلغ (67) % 85,67 و (%) 87,13 للترتيب المثلث متساوي الساقين ($12m \times 12m$) و ($11m \times 13m$) على التوالي . تم حساب تنساق التوزيع للربع الأقل إذ بلغ (29,82 ، 79,44 ، 79,44) % (%) 81,05 للترتيب المستطيل ($9m \times 12m$) والترتيب المثلث متساوي الساقين ($12m \times 12m$) و ($11m \times 13m$) على التوالي . تم حساب معدل إضافة الماء تحت المُعاملات الثلاثة إذ كانت القيمة مُقاربة في الترتيب المثلث متساوي الساقين ($12m \times 12m$) و ($11m \times 13m$) إذ بلغت (0,48) ملم.ساعة⁻¹ و (0,49) ملم.ساعة⁻¹ على التوالي ، بينما كانت قيمة معدل إضافة الماء أعلى تحت الترتيب المستطيل ($9m \times 12m$) إذ بلغت (0,64) ملم.ساعة⁻¹.

Evaluation water distribution pattern for The Floppy Sprinklers.

Qays Sami Saeed Hamdan¹

¹ Ministry Of Agriculture - Mesopotamia State Company For Seeds

Abstract

The research conducted at Hazrat al-Fadil one of the south Mosul villages in Qayara, With three arrangements including the rectangular ($9m \times 12m$), The isosceles triangle ($12m \times 12m$) and ($11m \times 13m$) . The calculated uniformity coefficient have (85.25%) for the rectangular arranging ($9m \times 12m$) and (85.67%) , (87.13%) for the isosceles triangle ($12m \times 12m$) , ($11m \times 13m$) respectively. The calculated distribution uniformity for the lowest quarter have (79.82% , 79.44% , 81.05%) for the rectangular ($9m \times 12m$) and the isosceles triangular ($12m \times 12m$) , ($11m \times 13m$) respectively. The calculated Values for the water addition rate under the three arrangements have Convergent for isosceles triangle ($12m \times 12m$) , ($11m \times 13m$) have (0.48) mm.hour⁻¹ , (0.49) mm.hour⁻¹ respectively, While the water addition rate value was higher under the rectangular ($9m \times 12m$) as it have (0.64) mm.hour⁻¹.

المقدمة

تعتبر مِرشات Floppy مُشابهة لِمنظومات الري بالرش الصغيرة (Micro Irrigation Systems) من حيث التصريف بسبب انخفاض تصريفها إلا أن بعد مسافات التركيب اللازمة بين هذه المِرشات ومساحة الابلال التي تُعطي كامل المساحة المروية تضيقها ضمن منظومات الري بالرش الاعتيادية ومنافساً قوياً لها ، إذ أن المِرشات الصغيرة تعد الحل الأمثل لمشاريع الفلاحين ذوي الدخل المحدود لأنخفاض كلفتها مقارنة بالكثير من منظومات الري بالرش (Stauffer ، 2011) . إذ تُظهر الدراسات أن هذا النوع من المنظومات أكثر كفاءة من أغلب منظومات الري بالرش الأخرى نظراً لأنخفاض معدل إضافة الماء (Solis وأخرين ، 2013) . في الوقت الحاضر تُعد ندرة المياه أحد أهم المشاكل التي تواجه العالم في الزراعة إذ أنها تستهلك كميات كبيرة من المياه لذلك فمن الضروري استخدام نظام رى ذو كفاءة عالية Darshna وأخرين (2015) إذ أن تطور الزراعة لا يعتمد فقط على توفير مياه الري وإنما الاستخدام الأمثل لتلك المياه Boydak وأخرين (2007) وتزداد كفاءة عملية الري بالرش من خلال تقليل الهدر في المياه بزيادة تنساق توزيع الماء إلى المساحة المروية (Letey ، 1985 و Solomon ، 1990) . إن الهدف الرئيسي للري بالرش هو محاكاة عملية هطول المطر وتوزيع المياه بشكل متساوي وبكفاءة على المساحة المروية Mandave و Jadhav (2014) إذ أن الري بالرش يحقق أفضل توزيع للمياه على المساحة المروية مُقارنة بطرق الري الأخرى El-Ansary وأخرين (2003) وأن المسافة بين المِرشات تُعد أحد العوامل المؤثرة في تنساق توزيع الماء وينبع مُعامل التنساق وتناسب التوزيع من المعابر المهمة في تقييم أداء منظومات الري بالرش Swailes و Wilcox (1947).

إنَّ هَدفَ هَذِهِ الْدِرَاسَةِ هُوَ تَقْيِيمُ أَدَاءِ مِرْشَاتٍ Floppy مِنْ خَلَالِ قِيَامِ مُعَالِمِ التَّنَاسُقِ (UC%) وَتَنَاسُقِ التَّوزِيعِ (DU%) لِلْمَسَافَةِ بَيْنِ الْمِرْشَاتِ بِتَرتِيبٍ مُسْتَطِيلٍ (9م × 12م) وَمُثُلِّثٍ مُنْسَاوِيِّ السَّاقِينِ (12م × 11م × 13م) بِاسْتِخْدَامِ مُعَادِلاتِ الْاحْتِسابِ وَبِرَنَامِجِ Catch 3D.

المواد وطرائق البحث

1-2 موقع اجراء التجربة :

تم اجراء التجربة في قرية حضرة الفاضل أحد قرى جنوب الموصل في ناحية القيارة خلال شهر كانون الثاني 2017 في أرض مستوية مساحتها 4 دونم وكانت سرعة الرياح مُخْفِضةً وقت أداء التجربة بمُعدل (3) كيلومتر.ساعة⁻¹ (Solomon, 1990).

2 - مواصفات منظومة الري بالرش المستخدمة :

- 1 مضخة ماء ديزل أنبوب السحب بقطر (104) ملم وأنبوب الدفع (78) ملم وبضغط (4) بار.
- 2 المرشة ذات هيكل مصنوع من البلاستيك المقاوم للظروف الجوية القاسية بداخله أنبوب مصنوع من السليكون المرن بقطر (4,5) ملم ذو تصريف (0,7) متر³.ساعة⁻¹ ويكون هذا التصريف ثابت عند الضغط التشغيلي (5-2) بار بسبب احتواء كل مرشة على منظم ضغط مصنوع بخلاف من السليكون وبقطر رش (17-18) متر للمرشة المنفردة الشكل (1).



الشكل (1): مِرْشَةٌ floppy

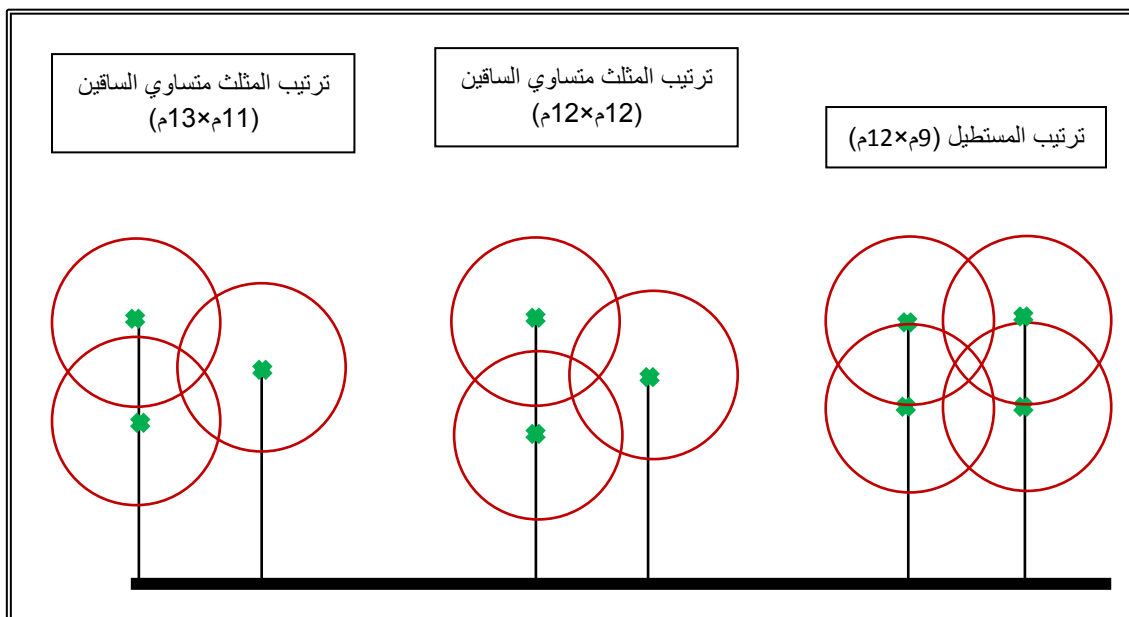
- 3 شبكة منظومة الري بالرش تكون من أنبوب رئيسي مصنوع من البلاستيك بقطر (78) ملم وأنابيب فرعية من البلاستيك بقطر (26) ملم مركبة على الأنابيب الرئيسي بواسطة أقفال من البلاستيك، قصبة المرشة بطول (200) ملم وبقطر (1,9) ملم، تم تثبيت معدل الضغط التشغيلي عند رأس المِرْشَاتِ على (3,5) بار.

2 - 3 تصميم التجربة :

تم تقسيم الحقل الى ثلاثة معاملات كما في الجدول (1) والشكل (2):

جدول (1): المسافة بين الخطوط والمسافة بين المرشات على كل خط والمساحة المروية وترتيب المرشات لكل معاملة من المعاملات الثلاثة.

ترتيب المرشات	المساحة المروية m^2	المسافة بين خط آخر (m) L	المسافة بين المرشات (m) على الخط الواحد S	المعاملة
مستطيل	108	12	9	1
مُثلث متساوي الساقين	144	12	12	2
مُثلث متساوي الساقين	143	13	11	3



الشكل (2): مخطط توضيحي لترتيب المرشات في المعاملات الثلاثة، الترتيب المستطيل ($9\text{m} \times 12\text{m}$) والترتيب المثلث متساوي الساقين ($12\text{m} \times 12\text{m}$) و ($11\text{m} \times 13\text{m}$) على التوالي .

4-2 برنامج Catch 3D :

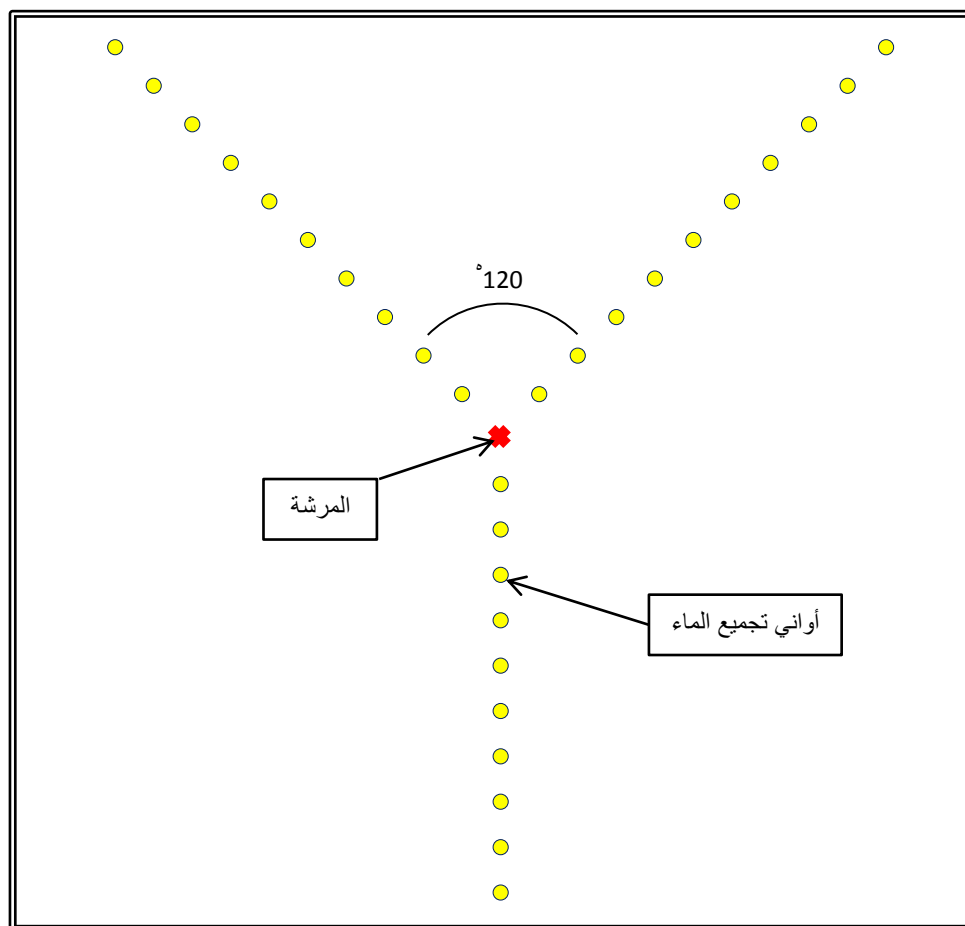
هو برنامج لتحليل بيانات كثيارات المياه المتجمعة في نقاط القياس تحت منظومات الري بالرش وتمثل هذه البيانات بشكل رسومي لفهم أشكال وأنماط البال تحت المرشات وحساب تقريري افتراضي لبعض معايير تقييم كفاءة المرشة كمعامل التنسق وتتناسب التوزيع (Allen و Merkley 2003).

5-2 أخذ القياسات :

تم استخدام أواني بلاستيكية بقطر (15) سنتيمتر وبعمق (10) سنتيمتر لجمع الماء في نقاط القياس ضمن مساحة الرش، وتم استخدام أسطوانات مدرجة لقياس حجم الماء المتجمع خلال فترة نصف ساعة من التشغيل ومن ثم حساب عمق الماء المتجمع في كل نقطة من نقاط القياس.

- القياسات تحت مرشة منفردة :

قسمت مساحة الرش تحت المرشة المنفردة بشكل نصف قطري بثلاثة خطوط بزاوية (120°) بين خط وآخر ووضعت الأواني البلاستيكية بواقع (10) أواني على كل خط وبمسافة (1) متر بين إثناء وأخر Allen و Merkley (2003) و El-Sayed و آخرين (2009) كما في الشكل (3).



الشكل (3): توزيع أواني تجميع الماء حول المرشة المُنفردة.

2- القياسات تحت مساحة الرش للمعاملات الثلاثة :

تم تقسيم مساحة الرش وكلفة المعاملات إلى مربعات ($2\text{m} \times 2\text{m}$) وثم وضع الغلب البلاستيكية في مركز كل مربع لتجميع الماء (Kassem و Rao ، 1999 ، Li ، 2009).

6-2 مُعامل التنساق (CU%) :

تم حساب مُعامل التنساق باستخدام المعادلة المُقترحه من قبل Christiansen و Merriam (1978 Keller).

$$C_U = 100 \left[\frac{1 - (\sum |X - \bar{x}|)}{\sum X} \right] \quad \dots \dots \dots (1-2)$$

إذ إن C_U = مُعامل التنساق % .
 X = هو عمق الماء المتجمع في كل غلبة من غلب التجميع (ملم) .
 \bar{x} = مُعدل عمق الماء المتجمع في غلب التجميع (ملم) .

7-2 تنساق التوزيع للربع الأقل (DU%) :

تم حساب تنساق التوزيع للربع الأقل كما يلي (ASABE ، 2001) .

$$DU_{lq} = \frac{\overline{V}_l}{\overline{V}_{tot}} \times 100 \quad \dots \dots \dots (2-2)$$

إذ إن \overline{V}_l

DU_{lq} = ثنائي التوزيع للربع الأقل % .
 V_{lq} = مُعدل عُمق الماء المتجمد في رُبع العدد الكُلّي ذات القيمة الأقل (ملم) .
 V_{tot} = مُعدل عُمق الماء المتجمد في كل التجميع (ملم) .

8-2 مُعدل الإضافة لمساحة الرَّش للمعاملات الثلاثة :

ثم حساب مُعدل الإضافة ضمن مساحة الرَّش للمعاملات الثلاثة كما في العلاقة التالية (Merriam و Keller 1978) .

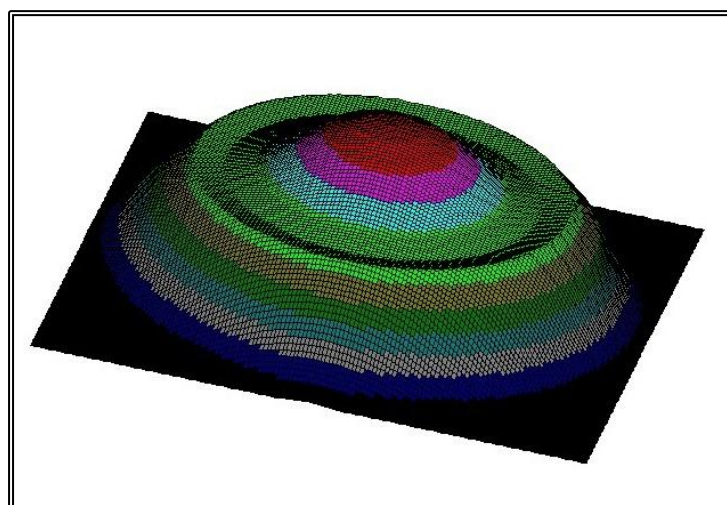
$$\text{Rate} = Q / \text{Area} \quad \dots \quad (3-2)$$

إذ إنَّ
 Rate = مُعدل الإضافة ، متر/ساعة-¹ .
 Q = نَصْرِيف المِرشة الواحدة ، متر³/ساعة-¹ .
 Area = مساحة منطقة الرَّش وتمثل (المسافة بين الخطوط (L) ، متر) × (المسافة بين المِرشات (S) ، متر).

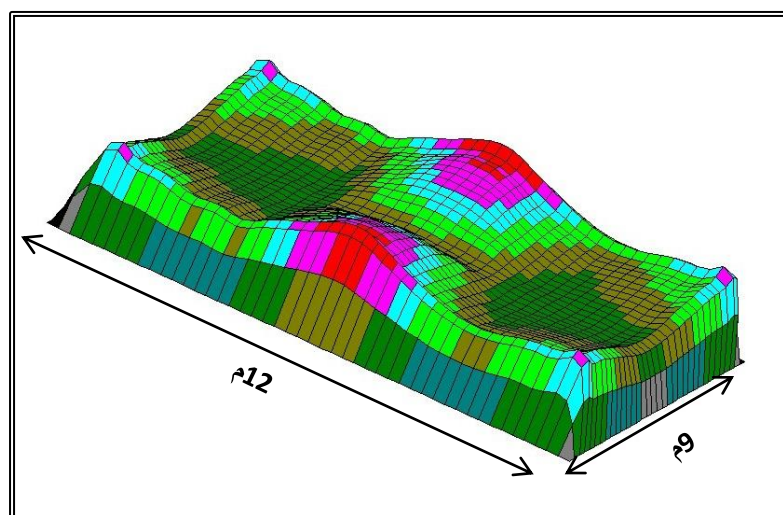
1- النتائج والمناقشة

1-3 شَكَل البَلَل تَحْت المِرشَات :

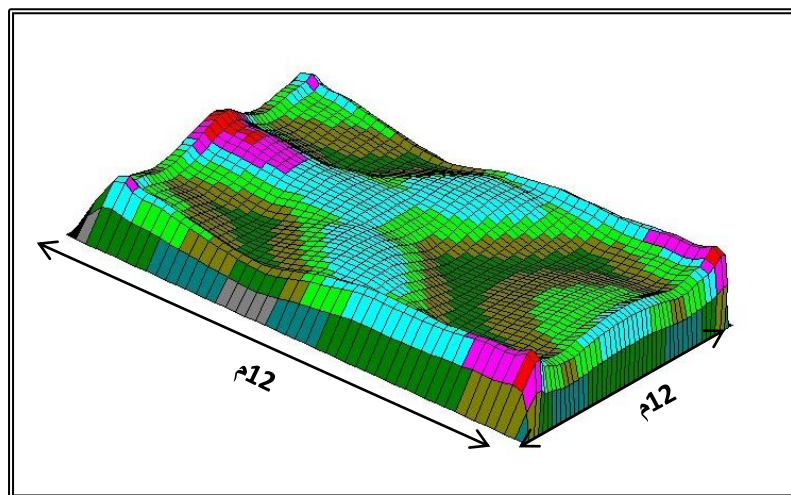
يُظَهِّر الشَّكَل (4) و (5) و (6) و (7) الرَّسَمُ الثَّلَاثِيُّ الأَبْعَاد بِاستِخدَام بِرَنَامِج 3D Catch لِشَكَلِ البَلَل تَحْت المِرشَة المُنفَرَدة وَأَنْوَاعِ التَّرْتِيبِ الْمُسْتَطِيلِ (9م×12م) وَالتَّرْتِيبِ الْمُثَلَّثِ مُتَسَاوِي السَّاقِينِ (12م×12م) وَ(11م×11م) عَلَى التَّوَالِي عِنْدِ الضَّغْطِ التَّشْغِيليِّ 3,5 بَار .



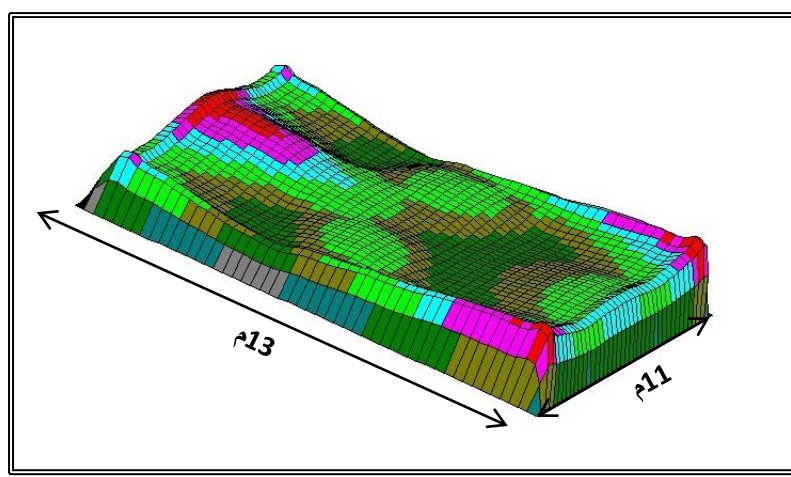
الشكل (4): شَكَل البَلَل تَحْت مِرشَة floppy مُنفَرَدة وَقَطْر الرَّش (18) متر .



الشكل (5): شَكَل البَلَل تَحْت التَّرْتِيبِ الْمُسْتَطِيلِ (9م×12م) .



الشكل (6): شكل البَلَل تَحْت التَّرْتِيب المُثُلَّث مُتساوِي السَّاقِين (12م × 12م).



الشكل (7): شكل البَلَل تَحْت التَّرْتِيب المُثُلَّث مُتساوِي السَّاقِين (11م × 13م).

2-3 مُعَالِم التَّنَاسُق :

أُظْهِرَ النَّتَائِجُ فِي الجَدْوَلِ (2) قِيمَ مُعَالِمِ التَّنَاسُق تَحْتِ مِرْشَاتِ Floppy فِي الْمُعَامِلَاتِ الْثَّلَاثَةِ إِذْ بَلَغَتْ (85,25%) لِلتَّرْتِيبِ الْمُسْطَبِيلِ (9م × 12م) وَبَلَغَتْ (87,13%) وَ(85,67%) لِلتَّرْتِيبِ الْمُثُلَّثِ مُتساوِيِ السَّاقِينِ (12م × 12م) وَ(11م × 13م) عَلَى التَّوَالِيِّ. وَتُؤْكِدُ جَمِيعُ هَذِهِ الْقِيَمُ حَيَّدَةً لَأَنَّهَا أَكْبَرُ مِنْ (80%) وَهَذَا يَتَقَوَّلُ مَعَ كُلِّ مِنْ ASABE (1999) وَالْغَبَارِيِّ وَالسَّمْحَانِ (2008) وَالْعَبَدِيِّ (2009) إِذَا أَشَارُوا إِلَى أَنَّ قِيمَةَ (80%) تَعُدُّ قِيمَةً حَيَّدَةً لِمُعَالِمِ التَّنَاسُقِ.

جَدْوَل (2): مُعَالِم التَّنَاسُق لِلْمِرْشَاتِ تَحْتِ الْمُعَامِلَاتِ الْثَّلَاثَةِ.

مُعَالِم التَّنَاسُق %CU		
التَّرْتِيبِ الْمُثُلَّثِ مُتساوِيِ السَّاقِينِ (11م × 13م)	التَّرْتِيبِ الْمُثُلَّثِ مُتساوِيِ السَّاقِينِ (12م × 12م)	التَّرْتِيبِ الْمُسْطَبِيلِ (9م × 12م)
%87,13	%85,67	%85,25

3-3 تَنَاسُق التَّوزِيع :

أُظْهِرَ النَّتَائِجُ فِي الجَدْوَلِ (3) قِيمَ تَنَاسُقِ التَّوزِيعِ لِلرُّبْعِ الْأَقْلَى تَحْتِ الْمِرْشَاتِ فِي الْمُعَامِلَاتِ الْثَّلَاثَةِ إِذْ بَلَغَتْ (79,82%) لِلتَّرْتِيبِ الْمُسْطَبِيلِ (9م × 12م) وَبَلَغَتْ (79,44%) وَ(81,05%) لِلتَّرْتِيبِ الْمُثُلَّثِ مُتساوِيِ السَّاقِينِ (12م × 12م) وَ(11م × 13م) عَلَى التَّوَالِيِّ. وَتُؤْكِدُ هَذِهِ الْقِيَمُ مُمْتَازَةً حَسَبَ تَصْنِيفِ Pitts (1978) وَKeller (1996) وَMerriam (1996) إِذَا أَشَارُوا إِلَى أَنَّ تَنَاسُقَ التَّوزِيعِ لِلرُّبْعِ الْأَقْلَى يُعْتَبَرُ مُمْتَازًا إِذَا كُوِنَ قِيمَتُهُ مِنْ (75%) إِلَى (84%).

جدول (3): تناسق التوزيع للربع الأقل للمرشات تحت المعاملات الثلاثة .

تناسق التوزيع %DU		
الترتيب المثلث متساوي الساقين (11م×13م)	الترتيب المثلث متساوي الساقين (12م×12م)	الترتيب المستطيل (9م×12م)
%81,05	%79,44	%79,82

4-3 مُعدل الإضافة :

أظهرت النتائج المُبيّنة في جدول (4) قيمة أعلى لمُعدل إضافة الماء تحت الترتيب المستطيل (9م×12م) إذ بلغت (0,64) ملم.ساعة⁻¹ بينما كانت قيمته مُقاربة إذ بلغت (0,48) ملم.ساعة⁻¹ و (0,49) ملم.ساعة⁻¹ في الترتيب المثلث متساوي الساقين (12م×12م) و (11م×13م) على التوالي . إذ تفوق الترتيب المثلث متساوي الساقين على الترتيب المستطيل حيث أنه كُلما انخفض مُعدل الإضافة أنخفضت احتمالية حدوث الحرarian السطحي تحت المساحة المروية وذلك يتفق مع ما جاء في NRCS (1984 ،).

جدول (4): مُعدل الإضافة للمرشات تحت المعاملات الثلاثة .

مُعدل الإضافة (ملم.ساعة ⁻¹)		
الترتيب المثلث متساوي الساقين (11م×13م)	الترتيب المثلث متساوي الساقين (12م×12م)	الترتيب المستطيل (9م×12م)
0.49	0.48	0.64

المصادر

- العبيدي، إبراهيم أحمد هادي (2009). دراسة تأثير بعض المؤشرات التقنية في أداء منظومة الري بالرش شبه الثابت. المعهد التقني بعقوبة، مجلة ديالى للعلوم الزراعية، المجلد (1) العدد (1): 297-292 .
- الغباري، حسين ومحمد السمحان (2008). إدارة وتنمية موارد مياه الري ، التمارين العملية ، تقييم نظم الري بالرش والتنقيط ، الانترنت . <http://faculty.ksu.edu.sa/12953/Documents/439AGEN2.doc>
- ASABE (2001). Test procedure for determining the uniformity of water distribution of center pivot and lateral move irrigation machines equipped with spray of sprinkler nozzles. ANSI/ASABE Standard S436.1. American Society of Agricultural and Biological Engineers, St. Joseph, MI.
- ASABE Standards (1999). Field evaluation of micro irrigation systems.46th ed. St. Joseph, Mich.: ASABE, 458.
- Boydak, E., D. Karaaslan, M. Simsek, S. Gercak, H. Kirnak, Y. Kasap and I. Ozturk (2007). Effect of Irrigation Methods and Irrigation Interval on yield and some yield components of Sesame growing in Semi-arid area. Journal of Agronomy, 6(3): 439-443.
- Darshna, S. , T. Sangavi, Sheena Mohan, A. Soundharya And Sukanya Desikan (2015). Smart Irrigation System. Department of Electronics and Communication, Amrita School of Engineering, India, IOSR Journal of Electronics and Communication Engineering (IOSR-JECE) e-ISSN: 2278-2834,p- ISSN: 2278-8735.VOLUME 10, ISSUE 3, Ver. II (May - Jun.2015), PP 32-36.
- El-Ansary, M. Y., A. M. El-Gindy, M. A. Awad and E. A. Wasif (2003). Evaluation of the alternate sets management of sprinkler irrigation. The 11th Annual Conference of Misr Society of Agricultural Engineering, Egypt, 15-16 Oct., 20(4): 236 - 250.
- El-Sayed, A. S., M. M. Hegazi, I. H. El-Sheikh and A. F. Khader (2009). Performance evaluation of floppy sprinklers. Irrigation and Drainage, Misr J. Ag. Eng., 26(2): 766- 782 .
- Kassem, M. A. (2009). Effect of sprinkler Irrigation Uniformity on Wheat productivity. Water Losses and Water use Efficiency, Irrigation and Drainage, Misr J. Ag. Eng., 26(3): 1201-1222 .

10. LETEY, J. (1985). Irrigation uniformity as related to optimum crop production-Additional research is needed. *Irrig. Sci.* 6 253-263.
11. Li, Jiusheng and Minjie Rao (1999). Crop Yield as affected by Uniformity of Sprinkler Irrigation System. Agricultural Engineering International. the CIGR Journal of Scientific Research and Development, Manuscript LW 01 004. Vol. III.
12. Mandave, V. R. and S. B. Jadhav (2014). Performance Evaluation Of Portable Mini-Sprinkler Irrigation System. Department of Irrigation & Drainage Engg. International Journal of Innovative Research in Science, Engineering and Technology, Volume 3, Special Issue 4, April 2014, India.
13. Merkley, G. P. and R. G. Allen (2003). Sprinkle and trickle irrigation lecture notes (BIE 5110/6110). Dept. of Biological and Irrig. Engr., Utah State Univ., Logan, UT. 249 pp.
14. Merriam, J. and Keller J. (1978). Farm irrigation system evaluation: A guide for management. Dept. of Agricultural and Irrigation Engineering, Utah State Univ., Logan, Utah.
15. NRCS (USDA Natural Resources Conservation Service) (1984). Sprinkle irrigation National Engineering Handbook 15, Chapter 11. NRCS Conservation Engineering .
16. PITTS, D., PETERSON K., GILBERT G. and FASTENAU R. (1996). Field assessment of irrigation system performance. *Appl. Eng. Agric.* 12 (3) 307-313.
17. Solis, Sandoval S., Orang M., Snyder R.L., Orloff S., Williams K.E. and Rodriguez J.M. (2013). Spatial Analysis of Application Efficiencies in Irrigation for the State of California. Final Report, Water Management Research Group, University of California, Davis.
18. Solomon, Kenneth H. (1990). Sprinkler Irrigation Uniformity. Center for Irrigation Technology Irrigation Notes. California State University, Fresno, California 23710-0051 .
19. Stauffer, Isabelle (2011). Making Micro-irrigation systems Accessible through Microfinance to base of the pyramid farmers in central America. Master thesis, International Affairs and Governance (MIA), University of St.Gallen (HSG) .
20. Wilcox, J. C. And G. E. Swailes (1947). Uniformity of Water Distribution by some under tree orchard sprinklers. *Sci. Agric. Can.* 27:565-583.